Арктика и Антарктика

Правильная ссылка на статью:

Буданцева Н.А., Васильчук Ю.К. — Вариации изотопов кислорода в ростках современных сингенетических повторно-жильных льдов в низовьях реки Колымы // Арктика и Антарктика. — 2019. — № 3. DOI: 10.7256/2453-8922.2019.3.30744 URL: https://nbpublish.com/library\_read\_article.php?id=30744

# Вариации изотопов кислорода в ростках современных сингенетических повторно-жильных льдов в низовьях реки Колымы

Буданцева Надежда Аркадьевна

кандидат географических наук

старший научный сотрудник, Московский государственный университет им. М.В. Ломоносова (МГУ)

119992, Россия, г. Москва, ул. Ленинские Горы, 1, стр. 19

☐ nadin.budanceva@mail.ru



Васильчук Юрий Кириллович

доктор геолого-минералогических наук

профессор, кафедра геохимии ландшафтов и географии почв, Московский государственный университет имени М.В.Ломоносова, географический факультет

119991, Россия, г. Москва, ул. Ленинские Горы, 1, оф. 2009

☑ vasilch geo@mail.ru



Статья из рубрики "Многолетнемерзлые породы и подземные льды Арктики, Антарктики и горных регионов"

# Аннотация.

Предметом исследования являются изменение изотопно-кислородных значений в современных ростках современных повторно-жильных льдов в нижнем течении р. Колымы. Приведены значения delta18O от бухты Амбарчик и Походска на севере до устья р. Омолон и с. Колымского на юге исследуемого региона. Выполнен критический анализ публикаций по Нижнеколымскому району и по смежным территориям для которых выполнялось сопоставление изотопно-кислородных данных с зимними температурами воздуха. Также проанлизированы аналогичные работы для Аляски и севера Канады. Основной метод исследования заключается в полевом опробовании современных жил и анализ публикаций, содержащих данные по значениям delta18O в Нижнеколымском районе. Основными выводов проведенного исследования является подтверждение зависимостей, полученных около 30 лет назад Ю.К.Васильчуком для Сибири в целом и Нижнеколымского района, связывающих значения delta18О в ростках современных жил с среднеянварскими температурами воздуха. Прослежены тенденции изменчивости значений delta180 с севера на юг, по мере удаления от источника влаги и увеличения степени континентальности.

**Ключевые слова:** сингенетический, повторно-жильные льды, ростки жил, многолетнемерзлые породы, пойма, торфяник, алас, изотопы кислорода, изотопный палеотермометр, река Колыма

DOT:

\_ \_ -

10.7256/2453-8922.2019.3.30744

### Дата направления в редакцию:

01-10-2019

#### Дата рецензирования:

01-10-2019

Работа выполнена при поддержке РНФ (№19-17-00126 – изотопный анализ), РФФИ (17-05-00793, анализ метеоданных и 18-05-60272 Арктика – обобщение данных).

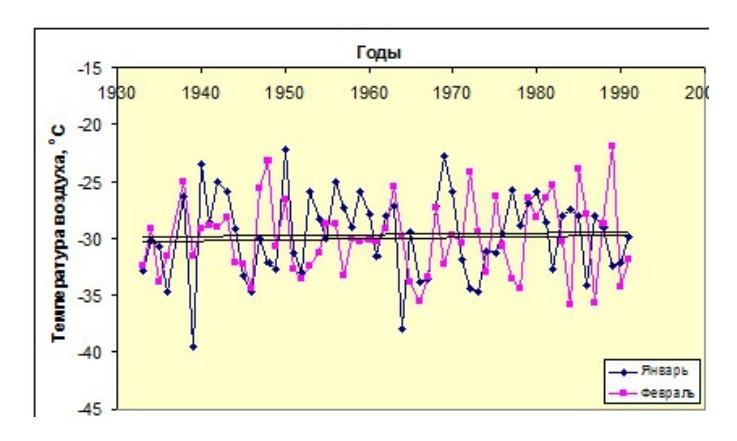
#### Введение

Впервые об изотопном составе повторно-жильных льдов в связи с зимними температурами упоминал Ю.К.Васильчук в статье 1984 г. [1]: "...можно предполагать, что процесс фракционирования изотопов кислорода в воде, формирующей повторножильные льды, контролируется прежде всего температурами конденсации атмосферной влаги зимой... Следовательно, по изотопно-кислородному составу ледяных жил можно характеризовать преимущественно температуру приземного слоя воздуха времени выпадения снега" [1, с. 426-427]. Впоследствии в статье, переданной для публикации в ДАН в 1984 г, посвященной Нижнеколымским повторно-жильным льдам близ пос. Зеленый Мыс, Ю.К.Васильчук отмечает: "Палеотемпературная интерпретация вариаций содержания стабильных тяжелых изотопов кислорода может быть выполнена на основе сопоставления с содержанием <sup>18</sup>О в современных сингенетических жилках и в снеге" [2, с. 906]

## Район исследований

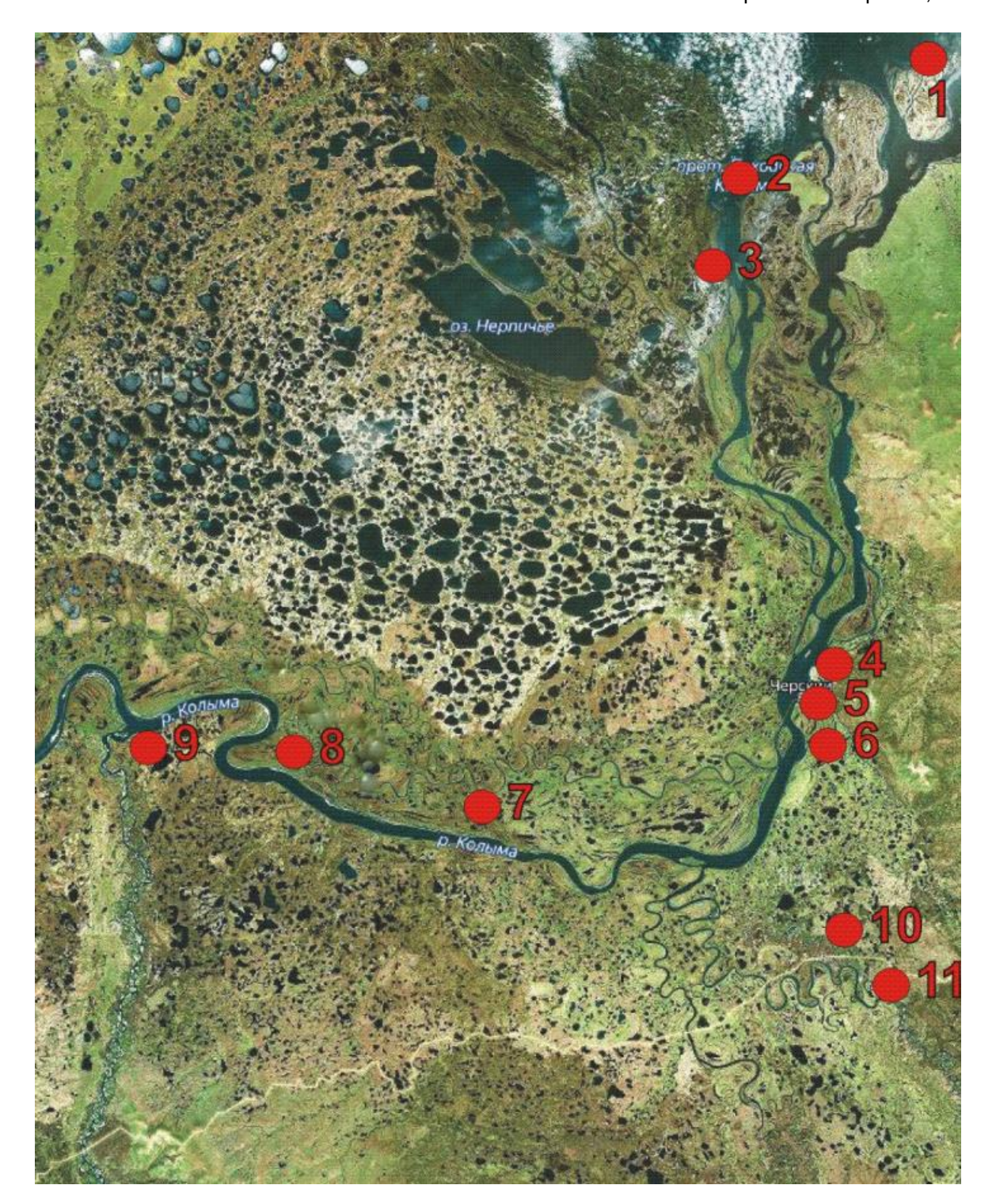
Исследования проводились в низовьях р.Колымы и ее притоков, между пос.Колымское и о.Каменка. Нижнеколымский район охватывает примерно 250-километровый отрезок нижнего течения Колымы от Евсейских островов на юге по побережья Восточно-Сибирского моря на севере. По территории региона проходит северная граница лиственничной тайги, выступающая на правобережье Колымы далеко к северу. С юговостока в Колыму впадают крупнейшие притоки – реки Омолон и Анюй. По левому берегу к долине Колымы примыкает Колымо-Индигирская низменность, с многочисленными термокарстовыми озерами на водоразделах и в долинах рек. Не менее 90% территории Нижнеколымского района представлены водно-болотными ландшафтами [3].

По данным метеостанции в пос.Колымское среднегодовая температура воздуха составляет -13.4 °C, средняя температура января -34 °C, средняя температура июля +7.8 °C. Среднегодовое количество осадков около 225 мм, половина их выпадает в виде снега [4]. По данным из [4] метеостанции Бухта Амбарчик в устье р.Колыма за период наблюдений 1933-1991 гг. средняя температура января составляла -29.7 °C, тренда изменения температуры за данный период не отмечено (рис. 1).



**Рис. 1.** Вариации средней температуры воздуха в январе и феврале на метеостанции "Бухта Амбарчик" (69°6′с.ш., 162°3′в.д., высота 23 м н.у.м.) за период 1933-1991 гг. (данные из [4])

Отобраны образцы льда из элементарных жилок в разных точках исследуемого района (рис. 2) и проанализирован их изотопно-кислородный состав.



**Рис. 2.** Карта района исследований в низовьях р.Колымы: 1 — метеостанция Бухта Амбарчик, 2 — о.Каменка, 3 — пос.Походск, 4 — пос. Зеленый Мыс, 5 — пос.Черский, 6 — стационар Амболиха, 7 — Плахинский Яр, 8 — Дуванный Яр, 9 — пос.Колымское, 10 — разрез Красивое, 11 — разрез Молотковский Камень.

# Методы

Определения изотопного состава кислорода выполнялись в лаборатории изотопной геологии ИГ АН Эстонии и в лаборатории изотопной гидрологии ИВП АН СССР при содействии А.Д.Есикова на приборе G-50. Проводились контрольные сопоставления стандартов обеих лабораториях.

## Результаты

Результаты изотопно-кислородного анализа элементарных жилок показывает, что

значения  $\delta^{18}$ О в жилках из разных точек варьируют в диапазоне от -23,0 до -27,1 % (табл. 1), составляя в среднем около -25,8 %.

**Таблица 1.** Значения  $\delta^{18}$ О в ростках современных сингенетических повторно-жильных льдов в низовьях р. Колымы, данные из [5,6]

Местоположение	δ <sup>18</sup> O, ‰	Местоположение	δ <sup>18</sup> O, ‰
современных жилок и	,	современных жилок и	,
координаты		координаты	
Устье р.Колымы, пойма на	-23,2 ÷	Стадухинская протока	-23,3 ÷
Походской протоке у пос.Походск (точка 15-ТЯ)*	-26,8	р.Колымы, близ зимовья Плахино (Плахинский Яр)	-27,1
69°2′с.ш., 161°0′в.д.	(n=5)	(точка 312-YuV)	(n=5)
		68°41′ с.ш., 160°17′ в.д.	
Низовья р.Колымы, пойма	-25,4 ÷	Правобережье р.Колымы,	-25,4 ÷
у пос.Зеленый Мыс (точка 15-ТЯ)	-25,6 (n=2)	Дуванный Яр, пойма р.Колымы (точка 2-РВ)	-25,6 (n=2)
68°47′ с.ш. 161°22′ в.д.		68°38′ с.ш., 159°02′ в.д.	
Низовья р.Колымы, пойма	-23 ÷ -	Правобережье р.Колымы,	-23,3
на протоке Амболиха, 20 км юго-восточнее	26,1 (n=3)	Дуванный Яр, алас (точка 2-РВ)	(n=1)
пос.Черский (точка 15-ТЯ) 68°42′ с.ш., 161°31′ в.д.	(11-3)	68°38′ с.ш., 159°03′ в.д.	
,	<u> </u>	Левобережье р.Колымы,	-25 ÷
		пойма у Дуванного переката (точка 317-YuV)	-25,2
		68°39′ с.ш., 159°21′ в.д.	(n=2)

<sup>\*</sup> Индексы образцов соответствуют инициалам исследователей, проводивших отбор. YuV

За период с 2001 по 2010 гг. на метеостанции в пос.Черский проводился отбор образцов осадков и определение его изотопного состава, полученные результаты были включены в базу данных GNIP (Global Network of Isotopes in Precipitation). Вариации значений  $\delta^{18}$ О в осадках зимнего периода составили от -15,4 до -36,7‰, среднее значение составило от -25,1 до -26,9‰ (табл. 2, 3).

Соотношение  $\delta^{18}$ О -  $\delta^{2}$ Н в зимних осадках описывается уравнением  $\delta^{2}$ Н = 7,2 $\delta^{18}$ О - 14,1, что близко к Глобальной Линии Метеорных Вод (ГЛМВ) (рис. 3).

**Таблица 2.** Вариации среднемесячных величин  $\delta^{18}$ O,  $\delta^{2}$ H и  $d_{exc}$  в метеоосадках пос. Черский за период 2001-2010 гг. Данные из базы GNIP [7]

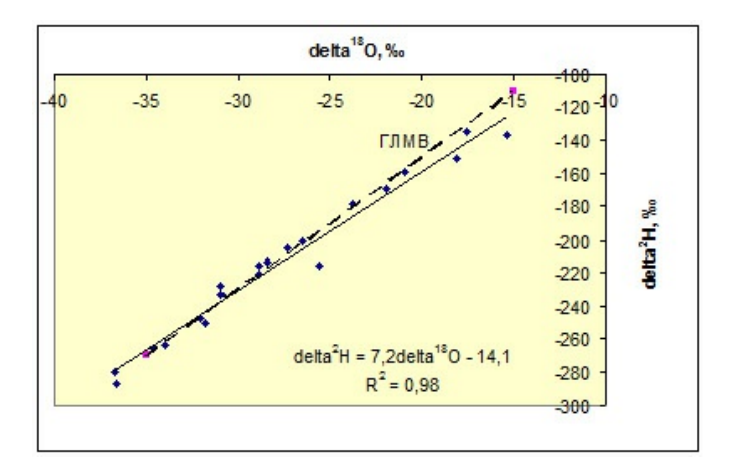
Месяц	δ18Ο, ‰	δ²Η, ‰	d <sub>exc</sub> ,‰
Январь	-34,61 ± 3,93	-265,0 ± 28,3	11,9 ± 3,4
Февраль	-32,10 ± 2,62	-247,3 ± 22,2	9,5 ± 1,3
Март	-31,77 ± 3,62	-250,1 ± 28,7	4,0 ± 5,3
Апрель	-25.58 ± 4.22	-215.3 ± 32.5	4.9 ± 3.8

<sup>–</sup> Васильчук Ю.К., РВ – Р.А.Вайкмяэ, ТЯ – Т.Я.Якимова

,bop	,		.,. = .,.
Май	-18,12 ± 3,44	-151,5 ± 23,2	$-1,0 \pm 9,8$
Сентябрь	-17,54 ± 2,02	-135,0 ± 13,4	6,7 ± 2,4
Октябрь	-23,77 ± 3,45	-178,5 ± 24,2	11,7 ± 6,9
Ноябрь	-27,28 ± 3,45	-204,4 ± 20,7	13,9 ± 8,0
Декабрь	-30,90 ± 3,94	-233,4 ± 31,8	13,8 ± 5,3
Среднее	-26,9		

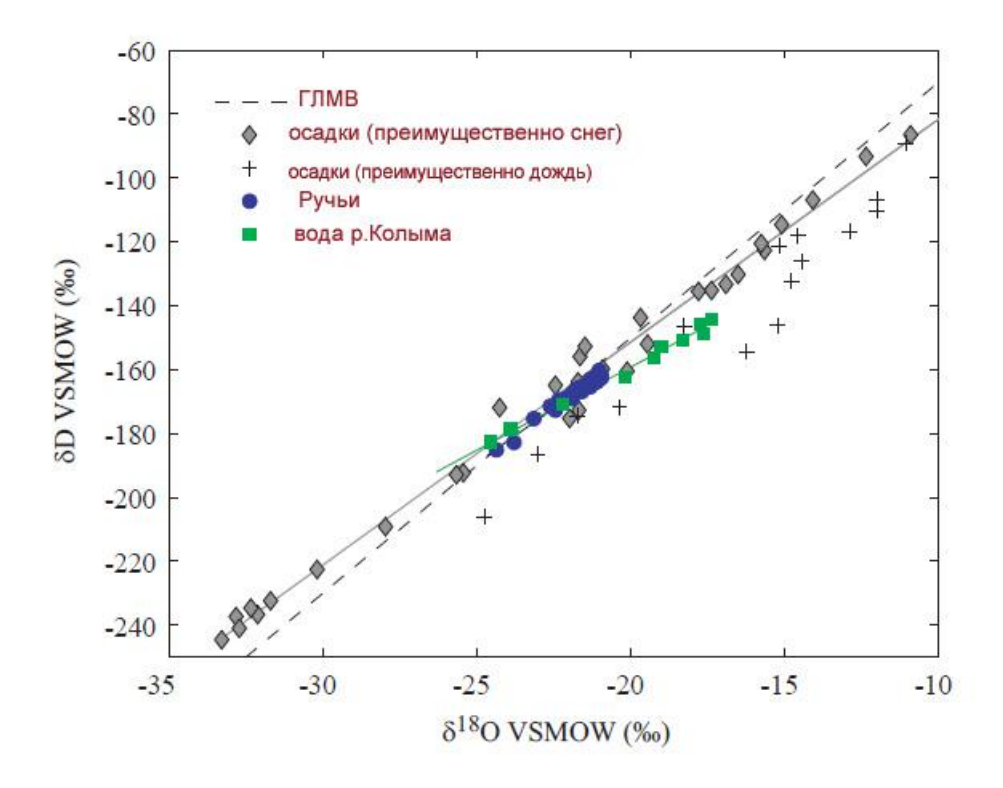
**Таблица 3.** Вариации среднемесячных величин  $\delta^{18}$ О и  $\delta^{2}$ Н в метеоосадках пос. Черский в 2008-2010 гг. Данные из базы GNIP [8]

Период	сбора	δ <sup>18</sup> Ο, ‰	δ <sup>2</sup> H, ‰
осадков			
Май 2008		-20,9	-158,4
Октябрь 2008		-28,9	-215,41
Ноябрь 2008		-28,4	-213,05
Март 2009		-28,9	-221,10
Май 2009		-15,4	-137,10
Октябрь 2009		-22,0	-169,40
Ноябрь 2009		-31,0	-227,80
Декабрь 2009		-26,5	-200,80
Январь 2010		-36,7	-279,20
Февраль 2010		-34,0	-263,00
Март 2010		-36,6	-286,20
Среднее		-25,1	



**Рис. 3.** Соотношение  $\delta^{18}$ О -  $\delta^{2}$ Н в зимних осадках в пос.Черский за период 2001-2010 гг.

По данным Л.Велп [9], проводившей исследования изотопного состава осадков и поверхностных вод в районе пос.Черский, в осадках с положительными значениями дейтериевого эксцесса (это преимущественно зимние осадки в виде снега) уравнение соотношения  $\delta^{18}$ О -  $\delta^{2}$ Н имеет вид  $\delta^{2}$ Н =  $7\delta^{18}$ О - 11,7. Все осадки зимнего периода расположены вблизи ГЛМВ (рис. 4).



**Рис. 4.** Соотношение  $\delta^{18}$ О -  $\delta^{2}$ Н в осадках и поверхностных водах в районе пос. Черский за период 2002-2004 гг. Из Welp [9]

Наблюдения М.А.Коняхина на стационаре Амболиха ИГ ДВНЦ РАН вблизи пос. Черский  $\nu$  на о.Каменка (устье р.Колыма) показали хорошее соответствие среднего изотопного состава снега и элементарной жилки  $\frac{[10, 11]}{10}$ . Так, на стационаре Амболиха среднее значение  $\delta^{18}$ О зимнего снега (период отбора – зима 1983-84 гг.) составило –25,7‰, во льду элементарной жилки - –25,7 и –25,9 ‰. На о.Каменка среднее значение  $\delta^{18}$ О зимнего снега (период отбора – зима 1984-85 гг.) составило –20,5‰, во льду элементарной жилки - –20,6 и –20,8 ‰ (табл. 4).

**Таблица 4.** Изотопно-кислородный состав ( $\delta^{18}$ О) современных жилок и снега и приземные температуры воздуха зимнего периода, низовья р.Колымы. Из [5, 6, 10, 11]

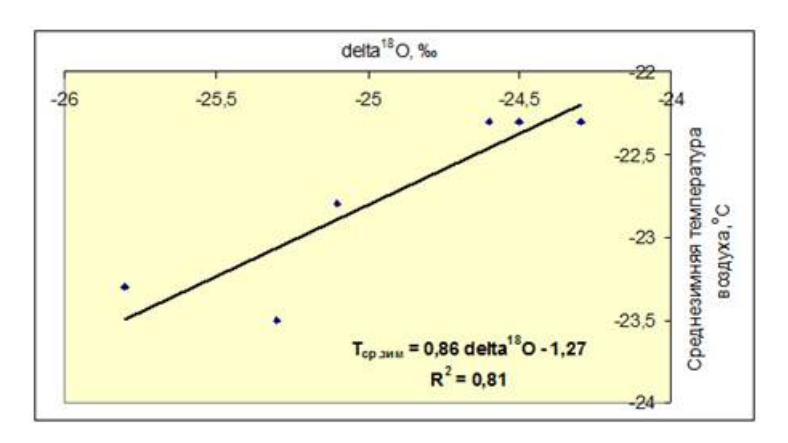
Район	Значения жилках	δ <sup>18</sup> Ο (‰) в	Значения δ <sup>18</sup> O (‰) в снеге	Температур приземного (°C)	
	Кол-во жил	Диапазон значений (среднее)	Диапазон значений (среднее)	Зима	Январь
Пос.Походск 69°2′ с.ш., 161°0′ в.д.	5	-23,2 ÷- 26,8 (-24,3)	-	-22,3	-34
Пос.Зеленый Мыс 68°47′ с.ш. 161°22′ в.д.	7	-23,4 ÷- 25,6 (-24,5)	-	-22,3	-34
Стационар Амболиха 68°42′ с.ш., 161°31′	5	-23,0 ÷- 26,1	-21,5 -36,3	-22,3	-34

в.д.		(-24,6)		(-26)		
Разрез Плахинский	10	-23,4	÷-	-	-22,8	-35
Яр		27,1				
68 <sup>0</sup> 40′ 43.8′′ с.ш.,		(-25,1)				
160 <sup>0</sup> 17′ 6.6′′ в.д.						
Разрез Дуванный Яр	7	-25,0	÷-	-	-23,5	-36
68°37′ с.ш., 159°08′		25,6				
в.д.		(-25,3)				
Пос.Колымское	6	-25,0	÷-	-	-23,3	-36
68°43′ с.ш., 158°42′		26,6				
в.д.		(-25,8)				

Это позволяет говорить о том, что жилки формируются преимущественно из талого снега, при этом изменение изотопного сигнала снега в результате фракционирования не отмечается. Об этом ранее упоминал Дж.Росс Маккай [12], делая вывод о том, что скорость замерзания воды в морозобойной трещине настолько велика, что фракционирование при образовании элементарной жилки не происходит.

Сопоставление средних значений изотопного состава современных жилок, снега и зимних температур воздуха показывает, что изотопно-кислородный состав современных жил льда в различных районах в низовьях р.Колымы закономерно изменяется в зависимости от зимних температур приземного воздуха (табл. 4, рис. 5).

Коэффициент соотношения значений  $\delta^{18}$ О в жилках со среднезимней температурой воздуха составляет 0,86, при высоком значении достоверности аппроксимации ( $R^2=0.8$ ).



**Рис. 5.** Зависимость значений  $\delta^{18}$ О в современных ледяных жилках со среднезимней температурой воздуха в Нижнеколымском районе (по данным из табл. 1 и 4).

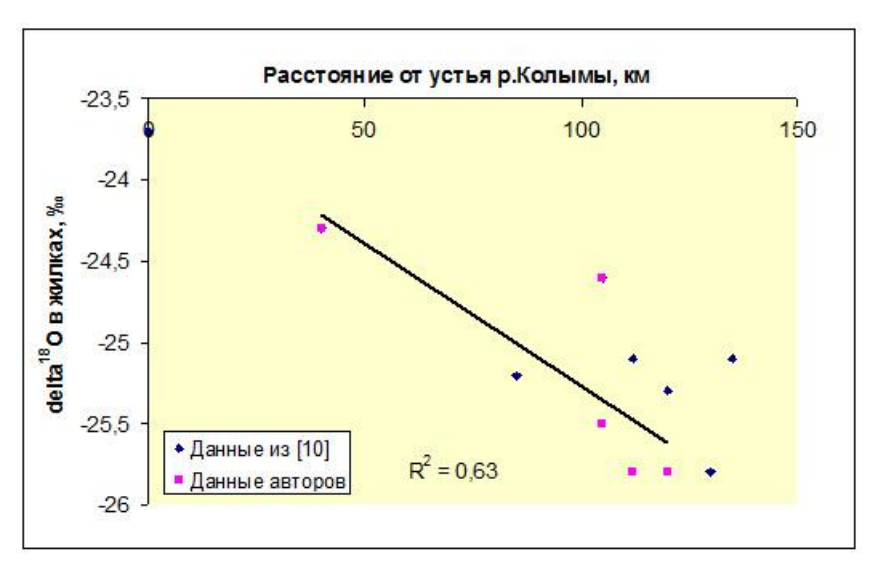
Для Колымской низменности было показано, что изотопный состав элементарных жилок определяется значениями зимних температур воздуха. Нами было прослежено изменение изотопного состава льда жилок на поймах и лайдах от побережья вглубь материка и установлено, что с удалением от побережья изотопный состав жильных ростков становился более изотопически отрицательным. Такая же тенденция ранее отмечена и М.А.Коняхиным с В.И.Соломатиным (табл. 5, рис. 6). Так, жилки на о.Каменка (дельта р.Колымы) характеризовались средним значением  $\delta^{18}$ О -20,5 ‰, у пос.Походск (40 км от устья) -24,3 ‰, у пос.Черский (80 км от устья) -25,2 ‰, у стационара

Амболиха (105 км от устья) -24,6 ‰, в районе пос.Колымское (130 км от устья) -25,8 ‰ [111]. Такое выраженное понижение значения изотопного состава современных жилок Колымской низменности с удалением от побережья согласуется с понижением среднезимних температур приземного воздуха (разница среднезимних температур между поселками Амбарчик в устье Колымы и Колымское составляет 3,1 °C) и является еще одним доказательством того, что жилки формируются в основном из талого зимнего снега. Поэтому их изотопный состав отражает зимние температурные условия периодов их формирования [111].

**Таблица 5.** Изменение изотопно-кислородного состава ( $\delta^{18}$ O) современных жильных льдов Колымской низменности с удалением от побережья. Из  $\frac{[10, \, 11]}{6}$  с дополнением из  $\frac{[5, \, 6]}{6}$ 

Географическое	Удаление	δ <sup>18</sup> O, ‰					
положение и	ОТ	Высокая	я пойма		Плакор (едома, алас)		
координаты	побережья	(лайда)	)				
координаты	(км)	Кол-во	Диапазон		Кол-во	Диапазон	
		жил	значений		жил	значений	
			(среднее)			(среднее)	
о. Каменка	0	5		÷-	8	-18,1 ÷-	
(дельта			24,2			22,7	
р.Колыма)							
			(-23,7)			(-20,1)	
69°26′ с.ш.,							
161°36′ в.д.							
пос. Походск	40	5	1	÷-	-	_	
69°04′46.3" с.ш.,			26,8				
160°58′10.3" в.д.			(-24,3)				
пос. Черский	85	4		÷-	_	_	
Tool Topoloni		•	25,8				
68°45′06" с. ш.							
161°19′47" в.д.			(-25,2)				
Стационар	105	5	-23,0	÷-	-	-	
Амболиха			26,1				
68°42′ с.ш.,			(-24,6)				
161°31′ в.д.			( 24,0)				
Разрез	112	10	-23,4	÷-	5	-19,4 ÷-	
Плахинский Яр,	112	10	27,1		3	25,8	
р. Мал. Анюй			27/1			23/3	
p. 11d/11.71110/1			(-25,1)			(-22,6)	
68°40′ с.ш.,							
160°17′ в.д.							
Разрез Дуванный	120	6	-25,0	÷-	1	-25,2 (-	
Яр			25,6			25,2)	
68°37′ с.ш.,			(-25,3)				
68°37′ с.ш., 159°08′в.д.			(-23,3)				
Пос. Колымское	130	6	-25,0	÷-	_	_	
TIOC. ROJIBINGROE	130		26,6	• -			
			20,0				

68°43′ с.ш.,			(-25,8)			
158°42′ в.д.				_		
Разрез Красивое,	135	7	-23,5 ÷-	3	-25,3	÷-
р. Мал. Анюй			26,5		25,9	
68°18′ с.ш.,			(-25,1)		(-25,6)	
161°44′ в.д.						
Разрез	145	-	-	5	-22,9	÷
Молотковский					26,2	
Камень, р. Мал.						
Анюй					(-24,5)	
68°14′ с.ш.,						
161°53′ в.д.						



**Рис. 6.** Изменение значений  $\delta^{18}$ О в современных ледяных жилках Нижнеколымского района в зависимости от расстояния от устья р.Колымы вглубь материка (построено по данным из табл. 1 и 5).

### Дискуссия

Зависимость между значениями  $\delta^{18}$ О в элементарных жилках и среднезимней температурой в 1‰ на  $1^{\rm o}$ С и среднеянварской температурой как 1,5‰ на  $1^{\rm o}$ С, предложенная Ю.К.Васильчуком [13] для российской криолитозоны была впоследствии подтверждена исследованиями Николаева и Д.В.Михалева, которые получили зависимость 0,83-0,86‰ на  $1^{\rm o}$ С для осадков холодного периода и 0,48‰ на  $1^{\rm o}$ С для среднеянварской температуры. Х.Майер в своей диссертации (защищенной в 2001, опубликованной в 2003) [14] проанализировал полученные зависимости и построил график по всем имеющимся данным и получил зависимости:

$$\delta^{18}O_{\Pi M \Pi} = 1,02 \times T_{CP.3 M M.} - 0,72 (R^2 = 0,81) (1)$$

$$\delta^{18}O_{\Pi M \Pi} = 1,02 \times T_{CD.9 HB.} - 3,46 (R^2 = 0,72) (2)$$

Данные, полученные Х.Майером по Быковскому п-ову (n=8) и о.Большой Ляховский (n=22) хорошо согласуются с полученными зависимостями. Для идентификации возраста современных жилок был проведен анализ трития в них, который показал высокий

уровень  $^{3}$ H, характерный для последних десятилетий  $^{[14]}$ .

Ряд исследований в российской и зарубежной Арктике посвящен изучению зависимостей изотопного состава осадков и приземной температуры воздуха и изотопного состава снега и современных жилок.

Исследования на о.Самойлова в дельте р.Лены были проведены с целью изучения участия снега в заполнении морозобойных трещин и формирования современных ледяных ростков. Для этого было отобрано и проанализировано на содержание стабильных изотопов около 250 образцов снега в различных районах острова в 2013 г. [15]

Было показано, что во льду в морозобойной трещине значения  $\delta^{18}$ О варьировали от – 25,4‰ до –20,3‰, среднее –23,7‰. По образцам снега получены значения между – 29,2‰ и –24,8‰, среднее значение –26,2‰, близко к наиболее низкому значению по льду из жилки. Образцы глубинной изморози имели значения между –26,4‰ и –22,9‰, среднее –24,3‰. Показано, что изотопный сигнал, сохраняющийся в годичной жилке, лучше всего соответствует изотопному сигналу снега из нижней части снежного покрова, глубинной изморози и талому снегу в понижениях над трещинами [15].

Для периода исследований 2004-2010 гг. была показана наилучшая корреляция изотопного состава снега с температурой холодного периода ( $r^2 = 0,67$ ). Исследования показали, что морозобойные трещины образуются преимущественно в декабре. Заполнение трещин происходит как после их образования в декабре (сухим снегом), так и в апреле-мае, когда начинает снеготаяние (талым снегом). Как результат, изотопный состав современных жилок, образовавшихся в течение одного года, заметно варьирует. Однако, вариабельность среднего изотопного состава жилок разных лет гораздо ниже (0,13 % на 1°C), что близко к предсказанным В.Дансгором значениям для среднегодовой температуры воздуха (0,7 % на 1°C). Это, скорее всего, объясняется тем, что процесс формирования ледяных жил ограничен холодным периодом (наиболее низкие температуры при формировании морозобойных трещин и температура немного выше  $0^{\circ}$ С при заполнении их талым снегом), а также гомогенизацией изотопного сигнала осадков в снеге.

Для о.Самойлова показано, что все температуры холодного сезона (ноябрь-май) могут быть рассмотрены для калибровки изотопного термометра. Для периода наблюдений 2004-2010 гг. была получена корреляция с весенними температурами (уравнение зависимости имеет вид:  $T = 4,40\delta^{18}O + 77,34$ ), что указывает на преимущественное заполнение трещин в весеннее время [16].

Исследования изотопного состава осадков и льда современных жилок, проведенные на побережье моря Лаптевых, в 300 км к западу от дельты р.Лена (73°36′ с.ш., 117°10′ в.д.) показали, что для снега получены средние значения  $\delta^{18}$ О и  $\delta^{2}$ Н -20,5‰ и -154‰, соответственно, при этом среднезимняя температура воздуха в данном районе составляет -22°С. Наклон линии  $\delta^{18}$ О- $\delta^{2}$ Н для снега составляет 7,9 (для Глобальной Линии Метеорных Вод (ГЛМВ) он равен 8), почти все значения изотопного состава расположены на ГЛМВ. Средний изотопный состав современных жилок ( $\delta^{18}$ О = -20,5 ‰,  $\delta^{2}$ Н = -156 ‰) идентичен среднему изотопному составу снега, что позволяет говорить о генетической корреляции изотопного состава зимних осадков и современных жилок  $\frac{[17]}{}$ .

Для о.Большой Ляховский показано различие изотопного состава современного снега и ледяных ростков. Средний изотопный состав снега снежников составляет -26,3% для величин  $\delta^{18}$ О и -199% для значений  $\delta^{2}$ Н. Наклон линии соотношения  $\delta^{18}$ О- $\delta^{2}$ Н составляет 7,1. Значительный диапазон значений дейтериевого эксцесса (от 3,5 до 23 %) объясняется просачиванием дождевой или талой снеговой воды или испарением. Изотопный состав современных жилок заметно отличается от среднего состава снежников и составляет -20,5 % для значений  $\delta^{18}$ О и -152% для величин  $\delta^{2}$ Н, значения  $d_{exc}$  4,5%, что соответствует изотопически тяжелым значениям для снежников и легким значениям для дождей. Это может указывать на 2 причины: 1) современные жилки на о.Большой Ляховский формируются из снега, пропитанного дождевой водой или 2) они формируются и талой снеговой воды, которая подверглась изотопному обогащению перед заполнением трещины. Эти данные противоречат результатам, полученным для Быковского п-ова и п-ова Таймыр, для которых показано, что процессы фракционирования не влияют на изотопный состав талого снега, попадающего в трещины  $\frac{141}{1}$ .

Исходя из этого, высказано предположение, что современные жилки на о.Большой Ляховский формируются из последних порций тающего снега и поэтому обогащенного тяжелыми изотопами, как это было показано Б.Лауриолем с соавторами [18] для севера Канады. Также возможным объяснением может быть малое количество снега, выпадающее в районе исследований, что способствует сублимации снега и как результат, формированию низких значений  $d_{\rm exc}$ . Кроме того, надо принимать во внимание сезонность формирования и заполнения морозобойных трещин, которые могут заполняться как в январе (более низкие изотопные значения) так и в марте (более высокие значения). Поскольку неизвестно точное время формирования и заполнения трещин, приходится рассматривать зимние температуры воздуха как основу для формирования изотопного состава жил [14].

Для континентальных районов Сибири, однако, не было показано влияния сублимации на изотопный состав зимних осадков. Снег в районе г.Якутск характеризовался наклоном линии соотношения  $\delta^{18}$ О- $\delta^{2}$ Н равным 7,6, среднее значение dexc составило 8,9, большая часть полученных значений расположена на ГЛМВ [19]. Для молодых жил (моложе 700 лет), исследованных на р.Тумара, показано обогащение изотопного состава льда, что объяснялось как формированием льда жил из последних порций талого снега, так и участием поверхностных вод, разбавляющих снег и заметно изменяющих его первичный изотопный сигнал [19].

Для северной Америки (Аляска, Юкон) показано в целом хорошее соответствие температуры воздуха в зимний период и изотопного состава осадков в данный период. Так, сопоставление изотопного состава осадков и поверхностных вод Аляски показало, что температуры и количество осадков зимы (декабрь – февраль) в наибольшей степени определяют изотопный состав поверхностных вод [20]. Для этого периода была получена зависимость  $\delta^{18}O = 0.28 \times T_{\text{дек-фев}} - 14.9 (R^2 = 0.59)$ , уравнение для локальной линии метеорных вод очень близко к таковому для ГЛМВ и имеет вид  $\delta^2H = 8\delta^{18}O + 6.8$ . Однако, для ледяных жил, исследованных в туннеле Фокс Пермафрост, наклон линии соотношения  $\delta^{18}O - \delta^2H$  имеет наклон 6.4, хотя значения изотопного состава находятся внутри диапазона современного снега. Скорее всего, снег, заполняющий жилы, подвергался изотопному фракционированию [20].

На севере Юкона, в районе оз. Ту Муз (Тwo Moose Lake) многие позднеголоценовые ледяные жилы (не старше 3 тыс. лет) характеризуются изотопно-кислородным составом ( $\delta^{18}$ О от -22% до -24%) близким к современным зимним осадкам в Майо ( $-22,32\pm3,06\%$ ) и к значению в современной жилке в 10 км севернее ( $-22,4\pm0,5\%$ ) [21]. При этом наклон линии соотношения  $\delta^{18}$ О- $\delta^{2}$ Н для жильного льда во многих случаях заметно ниже локальной линии метеорных вод (ЛЛМВ), что может отражать, например, фракционирование в результате неоднократного замерзания-протаивания воды. Также низкая статистическая корреляция ( $R^2$ <0,3) для некоторых графиков, построенных по жилам, может указывать на различные источники влаги, формирующей лед [21].

Для континентального Юкона было показано [22], что зависимость изотопного состава осадков и температуры описывается уравнением  $\delta^{18}O_{\text{осадки}}=0,41\%$ /°C x T -20,2 ( $R^2=0,87$ ) и  $\delta^2H_{\text{осадки}}=3,1\%$ /°C x T -155 ( $r_2=0,87$ ). Для молодых жил (возраст не более 500 лет) в Бримстоуне среднее значение  $\delta^2H$  составило  $-187\pm3\%$ , что близко к среднему значению  $\delta^2H$  в снеге (выпадающем с октября по май) на ближайшей метеостанции в Майо (-191 %). Также было отмечено хорошее соответствие приземной температуры воздуха в период октябрь-май в Клондайке ( $-12^{\circ}$ C) и температурой, реконструированной по значениям  $\delta^2H$  жил в Бримстоуне ( $-10^{\circ}$ C), что, по мнению Т.Портера, позволяет рассматривать ледяные жилы как довольно надежный зимний палеотермометр [22], что, примерно за 30 лет до этого, и было показано Ю.Васильчуком [1, 2, 6, 13 и др]

#### Выводы

- 1. Показано, что вариации значений  $\delta^{18}$ О в ростках современных ледяных жил в низовьях р.Колымы составляют около 4‰ от -23 до -27,1‰, средние значения по жилкам варьируют в более узком диапазоне от -23,7 до -25,8‰.
- Показано подтверждение зависимостей, полученных около 30 лет назад Ю.К.Васильчуком для Сибири в целом и Нижнеколымского района, связывающих значения б<sup>18</sup>О в ростках современных жил со среднеянварскими температурами воздуха.

# Библиография

- 1. Васильчук Ю.К., Трофимов В.Т. Изотопно-кислородная диаграмма повторно-жильных льдов Западной Сибири, ее радиологический возраст и палеогеокриологическая интерпретация // Доклады АН СССР. 1984. Том 275. № 2. С. 425–428.
- 2. Васильчук Ю.К., Есиков А.Д., Опруненко Ю.Ф., Васильчук А.К., Сулержицкий Л.Д. Новые данные по содержанию стабильных изотопов кислорода в сингенетических повторно-жильных льдах позднеплейстоценового возраста низовий р.Колымы // Доклады АН СССР. 1985. Том 281. N 4. C. 904–907.
- 3. Водно-болотные угодья России. Том 4. Водно-болотные угодья Северо-Востока России. Составитель Андреев А.В. 2001. 296 с.
- 4. meteo.ru/data/156-temperature.
- 5. Вайкмяэ Р.А., Васильчук Ю.К. Изотопно-кислородный анализ подземных льдов севера Западной Сибири, Якутии и Чукотки. Таллинн: изд. АН Эстонии. 1991. 70 с.
- 6. Васильчук Ю.К. Изотопно-кислородный состав подземных льдов (опыт

- палеогеокриологических реконструкций): В 2 т. Т..1. М.: изд. Отдела теоретических проблем РАН-МГУ, 1992. 420 с.
- 7. https://nucleus.iaea.org/wiser/index.aspx [Partner: Northeast Science Station, Cherskij]
- 8. https://nucleus.iaea.org/wiser/index.aspx
- Welp, L.R., Randerson J.T., Finlay J.C., Davydov S.P., Zimova G.M., Davydova A.I., Zimov S.A. A high-resolution time series of oxygen isotopes from the Kolyma River: Implications for the seasonal dynamics of discharge and basin-scale water use // Geophysical Research Letters. 2005. Vol.32. P. L14401.doi:10.1029/2005 GL022857.
- 10. Соломатин В.И. Физика и география подземного оледенения. Новосибирск: Академическое изд-во "Гео". 2013. 346 с.
- 11. Коняхин М.А., Михалев Д.В., Соломатин В.И. Изотопно-кислородный состав подземных льдов М.: Изд-во Моск. ун-та. 1996. 156 с.
- 12. Mackay J.R. Oxygen isotope variations in permafrost, Tuktoyaktuk Peninsula area, Northwest Territories // Geological Survey of Canada. Current Research. Part B. 1983. Paper 83-1B. P.67-74.
- 13. Vasil'chuk Yu.K. Reconstruction of the paleoclimate of the Late Pleistocene and Holocene on the basis of isotope studies of subsurface ice and waters of the permafrost zone // Water Resources. Published by Consultants Bureau. New York. 1991. Vol. 17. N 6. P. 640-647.
- 14. Meyer H. Late Quaternary climate history of Northern Siberia evidence from ground ice / PhD Dissertation. Alfred Wegener Institute. Polar- und Meeresforschung Forschungsstelle. Potsdam. 2001 (2003). 112 p.
- 15. Böhm E. Stable isotope dynamics in a seasonally changing snow cover on Samoylov Island, Northern Siberia / Bachelor thesis, University of Potsdam. 2014. 78 p.
- 16. Kleine C. Recent cryogenic processes at Samoylov Island, North Siberia for calibrating a stable-isotope thermometer for ice wedges / Bachelor thesis, University of Potsdam. 2014. 81 p.
- 17. Magens D. Late Quaternary climate and environmental history of the Siberian Arctic Permafrost Records from Cape Mamontovy Klyk, Laptev Sea / PhD Dissertation. Kiel, 2005. 130 p.
- 18. Lauriol B., Duchesne A., Clark I.D. Systematique du remplissage en eau fentes de gel: les resultats d'une etude oxygene-18 et deuterium (Periodic water saturation of ice wedges: results of an oxygen-18 and deuterium study) // Permafrost and Periglacial Processes. 1995. Vol. 6. N 1. P. 47-55.
- 19. Popp S. Late Quaternary environment of Central Yakutia (NE' Siberia): Signals in frozen ground and terrestrial sediments / PhD Dissertation. Alfred-Wegener-Institut für Polarund Meeresforschung, Forschungsstelle Potsdam. 2006. 80 p.
- 20. Sloat A. Modern to Late Pleistocene Stable Isotope Climatology of Alaska / PhD Dissertation. Department of Geoscience. College of Sciences. The Graduate College University of Nevada, Las Vegas. 2014. 181 p.
- 21. Grinter M. Pleistocene and Holocene Climate Reconstruction at Two Moose Lake, Central Yukon, using Stable Isotopes and 14C-DOC radiocarbon from Ice wedges, Pore ice and Buried sediments / PhD Dissertation. Department of Earth Sciences Faculty of Science, University of Ottawa. 2017. 122 p.
- 22. Porter T.J., Froese D.G., Feakins S.J., Bindeman I.N., Mahony M.E., Pautler B.G., Reichart G-J., Sanborn P.T., Simpson M.J., Weijers J.W.H. Multiple water isotope proxy reconstruction of extremely low last glacial temperatures in Eastern Beringia (Western

Arctic) // Quaternary Science Reviews. 2016. N 137. p. 113-125.